

И. В. Украинец\*, О. В. Бевз, Е. В. Моспанова<sup>a</sup>,  
Л. В. Савченкова<sup>b</sup>, С. И. Янкович<sup>b</sup>

### 4-ГИДРОКСИХИНОЛОНЫ-2

#### 202\*. СИНТЕЗ, ХИМИЧЕСКИЕ И БИОЛОГИЧЕСКИЕ СВОЙСТВА АЛКИЛАМИДОВ 4-ГИДРОКСИ-6,7-ДИМЕТОКСИ-2-ОКСО- 1,2-ДИГИДРОХИНОЛИН-3-КАРБОНОВОЙ КИСЛОТЫ

В продолжение поиска потенциальных анальгетиков среди производных 4-гидроксихинолонов-2 предложен препаративный способ получения и осуществлён синтез алкиламидов 4-гидрокси-6,7-диметокси-2-оксо-1,2-дигидрохинолин-3-карбоновой кислоты. Показано, что бромирование аллиламида 4-гидрокси-6,7-диметокси-2-оксо-1,2-дигидрохинолин-3-карбоновой кислоты эквивалентом молекулярного брома не сопровождается галогеницилизацией, а протекает как обычное присоединение галогена к двойной алильной связи. Приводятся результаты изучения анальгетических свойств полученных соединений.

**Ключевые слова:** 4-гидрокси-2-оксо-1,2-дигидрохинолин-3-карбоксамиды, амидирование, анальгетическая активность, бромирование.

Боль является самым распространённым симптомом, с которым люди обращаются за медицинской помощью. Поэтому неудивительно, что обезболивающие средства представляют собой одну из наиболее востребованных категорий лекарств [2–4]. Между тем все имеющиеся на сегодняшний день в медицинском арсенале препараты данной фармакологической группы, к сожалению, пока ещё весьма далеки от совершенства [5–7]. По этой причине поиск способных купировать боль веществ и создание на их основе новых анальгетиков, отвечающих современным требованиям эффективности и безопасности, является одной из важнейших задач химии лекарственных средств.

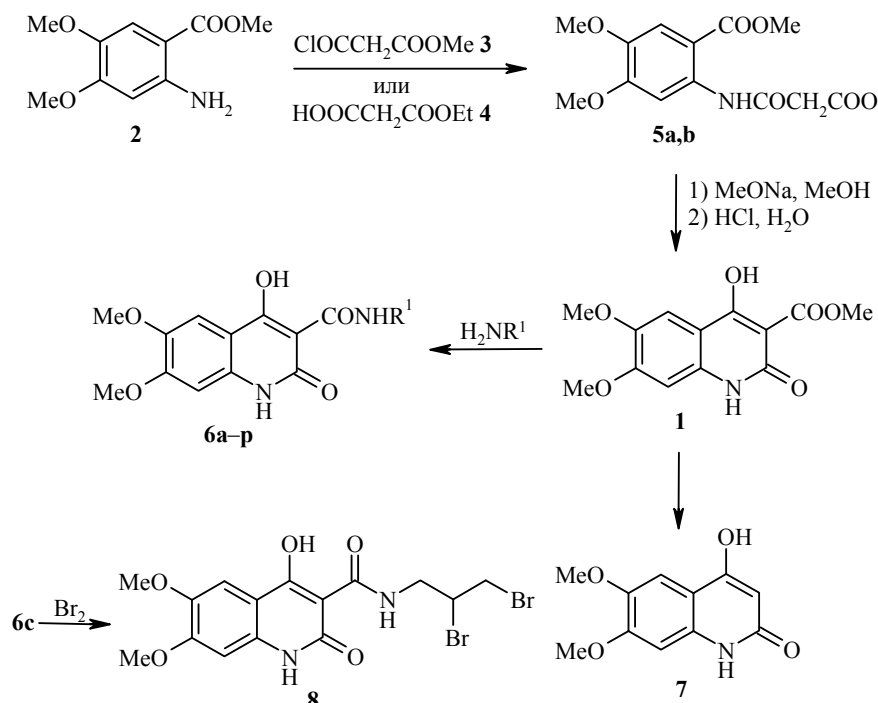
Выраженные обезболивающие свойства были недавно обнаружены у алкиламидов 1-аллил-4-гидрокси-6,7-диметокси-2-оксо-1,2-дигидрохинолин-3-карбоновой кислоты [8]. Для развития этого нового для производных 4-гидроксихинолонов-2 фармацевтического направления несомненный интерес представляет химическая модификация указанных соединений. Как минимум по результатам такого исследования можно определить теоретически важные для последующих изысканий закономерности связи структура–активность. В случае же удачи (элемент случайности всегда присутствует в подобных работах) вполне реально выявление новых перспективных структур-лидеров, имеющих для решения обозначенной выше проблемы уже практическую значимость.

Вариантов химической трансформации алкиламидов 1-аллил-4-гидрокси-6,7-диметокси-2-оксо-1,2-дигидрохинолин-3-карбоновой кислоты, конечно же, можно предложить достаточно много. А начать, на наш взгляд, наиболее рационально с самого простого – удаления из базовой молекулы 1-*N*-алильного заместителя.

---

\* Сообщение 201 см. [1].

Основа всей синтетической схемы – метиловый эфир 4-гидрокси-6,7-диметокси-2-оксо-1,2-дигидрохинолин-3-карбоновой кислоты (**1**) получен ацилированием коммерчески доступного 4,5-диметоксиметилантранилата (**2**) метилмалонилхлоридом (**3**) в присутствии триэтиламина илиmonoэтиловым эфиром малоновой кислоты (**4**) в присутствии *N,N*-дициклогексилкарбодиимида с последующей гетероциклизацией промежуточных анилидов **5a,b** в условиях катализируемой основаниями сложноэфирной конденсации. Сразу же отметим, что при использовании в качестве основного катализатора метилата натрия в метиловом спирте циклизация этилового эфира 4,5-диметокси-2-[(3-метокси-3-оксопропаноил)амино]бензойной кислоты (**5b**) сопровождается переэтерификацией. Таким образом, независимо от использованного ацилирующего агента, конечным продуктом реакции является одно и то же вещество – метиловый эфир **1**. Предпочтение, однако, следует отдать monoэфиру **4**, так как карбодиимидный метод обеспечивает не только более высокий выход эфира **1**, но и настолько высокую его чистоту (см. экспериментальную часть), что отпадает необходимость в дополнительной очистке.



**5 a** R = Me, **b** R = Et; **6 a** R<sup>1</sup> = Me, **b** R<sup>1</sup> = Et, **c** R<sup>1</sup> = All, **d** R<sup>1</sup> = Pr, **e** R<sup>1</sup> = 2-Pr, **f** R<sup>1</sup> = Bu, **g** R<sup>1</sup> = *i*-Bu, **h** R<sup>1</sup> = C<sub>5</sub>H<sub>11</sub>, **i** R<sup>1</sup> = *i*-C<sub>5</sub>H<sub>11</sub>, **j** R<sup>1</sup> = C<sub>6</sub>H<sub>13</sub>, **k** R<sup>1</sup> = C<sub>7</sub>H<sub>15</sub>, **l** R<sup>1</sup> = C<sub>8</sub>H<sub>17</sub>, **m** R<sup>1</sup> = C<sub>9</sub>H<sub>19</sub>, **n** R<sup>1</sup> = C<sub>10</sub>H<sub>21</sub>, **o** R<sup>1</sup> = C<sub>11</sub>H<sub>23</sub>, **p** R<sup>1</sup> = C<sub>12</sub>H<sub>25</sub>

Сложные эфиры 4-гидрокси-2-оксо-1,2-дигидрохинолин-3-карбоновых кислот обладают высокой реакционной способностью [9, 10], благодаря чему их превращение в различные N-R-амиды трудностей обычно не вызывает. Поэтому проблемы, возникшие при амидировании первичными алкиламиами диметоксизамещённого эфира **1**, в значительной степени оказались неожиданными. Так, после проведения синтеза в кипящем ДМФА, используемом по причине низкой растворимости эфира **1** в других органических растворителях, наряду с целевыми алкиламидами **6** зафиксировано образование заметного количества 4-гидрокси-6,7-диметокси-1*H*-хинолин-2-она (**7**), легко

идентифицируемого по обусловленному протоном Н-3 характеристическому синглету при 5.59 м. д. в спектре ЯМР  $^1\text{H}$ . Со столь ярко выраженной склонностью 3-алкоксикарбонил-4-гидрокси-2-оксо-1,2-дигидрохинолинов к деструкции в относительно мягких условиях мы столкнулись впервые. Интересно, что для утраты эфиром **1** метоксикарбонильной группировки присутствие в реакционной смеси основания в виде алкиламина совсем не обязательно. Как оказалось, разложение происходит уже через несколько минут кипячения в ДМФА (использовались два растворителя: "ч" и безводный для пептидного синтеза, т. е. практически свободный от аминов и с содержанием воды не более 0.02%). Вряд ли наблюдаемый эффект вызван специфическим влиянием ДМФА, поскольку совершенно аналогичную трансформацию эфир **1** претерпевает и в кипящем сухом бромбензоле или ксилоле.

На основании имеющихся данных трудно дать однозначное объяснение необычному поведению диметоксизамещённого эфира **1** при нагревании в высококипящих растворителях.

А вот возникшая проблема с получением алкиламидов **6c–p** решена довольно просто – для предотвращения нежелательной деструкции эфира **1** в хинолон **7** достаточным оказалось проводить амидирование при более низкой температуре. Практически это можно сделать разными способами: например, поддерживать температуру реакционной смеси в интервале 80–100 °С или же просто проводить реакцию в кипящем смешанном растворителе, содержащем помимо ДМФА около 15% метилового спирта.

В результате целевые алкиламиды **6a–p** получены с высокими выходами и чистотой (табл. 1). Все они представляют собой бесцветные кристаллические вещества с узкими интервалами температур плавления, при комнатной температуре умеренно растворимые в ДМФА и ДМСО и практически не растворимые в воде. Для подтверждения строения синтезированных соединений использована спектроскопия ЯМР  $^1\text{H}$  (табл. 2).

Способность образовывать различные тautомерные формы и, как следствие, далеко не всегда предсказуемое поведение в тривиальных реакциях служат хорошим стимулом для вовлечения 4-гидроксихинолонов-2 в самые разнообразные химические превращения. Чаще всего внимание привлекают реакции, завершающиеся эффектным формированием новых гетероциклов. В качестве примера можно привести бромирование 1-*N*- или 3-*C*-аллилзамещённых производных, протекающее как галогенциклизация в оксазоло-[11] или фурохинолоны [12] соответственно. Каким образом отразится на данной реакции разделение аллильного и хинолонового фрагментов карбамидной группой, мы попытались выяснить, подвергнув бромированию аллиламида 4-гидрокси-6,7-диметокси-2-оксо-1,2-дигидрохинолин-3-карбоновой кислоты (**6c**).

После добавления эквивалентного количества молекулярного брома к раствору аллиламида **6c** в ледяной уксусной кислоте бурая окраска исчезает практически мгновенно. После разбавления реакционной смеси водой выделен бесцветный продукт, спектр ЯМР  $^1\text{H}$  которого свидетельствует о том, что все изменения коснулись исключительно аллильной части молекулы. Говоря иначе, наличие карбамидного мостика между аллильной группой и 4-гидроксихинолин-2-оновым ядром блокирует возможность протекания реакции по типу галогенциклизации. В результате бромирование проходит всего лишь как классическое присоединение галогена к олефиновой связи и

Таблица 1

## Характеристики алкиламидов 6а–р

Соединение	Брутто-формула	Найдено, %			Т. пл., °C (ДМФА)	Выход, %	Анальгети- ческая активность*
		C	H	N			
<b>6a</b>	C <sub>13</sub> H <sub>14</sub> N <sub>2</sub> O <sub>5</sub>	56.23 56.11	5.15 5.07	9.94 10.07	323–325	98	18.8
<b>6b</b>	C <sub>14</sub> H <sub>16</sub> N <sub>2</sub> O <sub>5</sub>	57.62 57.53	5.61 5.52	9.47 9.58	270–272	96	22.6
<b>6c</b>	C <sub>15</sub> H <sub>16</sub> N <sub>2</sub> O <sub>5</sub>	59.32 59.21	5.43 5.30	9.14 9.21	276–278	96	36.5
<b>6d</b>	C <sub>15</sub> H <sub>18</sub> N <sub>2</sub> O <sub>5</sub>	58.74 58.82	5.81 5.92	9.08 9.15	281–283	93	60.6
<b>6e</b>	C <sub>15</sub> H <sub>18</sub> N <sub>2</sub> O <sub>5</sub>	58.90 58.82	5.83 5.92	9.26 9.15	255–257	88	24.2
<b>6f</b>	C <sub>16</sub> H <sub>20</sub> N <sub>2</sub> O <sub>5</sub>	60.11 59.99	6.38 6.29	8.85 8.74	242–244	92	32.9
<b>6g</b>	C <sub>16</sub> H <sub>20</sub> N <sub>2</sub> O <sub>5</sub>	60.06 59.99	6.35 6.29	8.83 8.74	280–282	93	28.5
<b>6h</b>	C <sub>17</sub> H <sub>22</sub> N <sub>2</sub> O <sub>5</sub>	60.94 61.07	6.55 6.63	8.30 8.38	246–248	90	25.1
<b>6i</b>	C <sub>17</sub> H <sub>22</sub> N <sub>2</sub> O <sub>5</sub>	61.15 61.07	6.52 6.63	8.27 8.38	259–261	88	48.1
<b>6j</b>	C <sub>18</sub> H <sub>24</sub> N <sub>2</sub> O <sub>5</sub>	62.18 62.05	7.01 6.94	7.95 8.04	243–245	91	14.4
<b>6k</b>	C <sub>19</sub> H <sub>26</sub> N <sub>2</sub> O <sub>5</sub>	63.09 62.97	7.30 7.23	7.84 7.73	238–240	85	43.9
<b>6l</b>	C <sub>20</sub> H <sub>28</sub> N <sub>2</sub> O <sub>5</sub>	63.72 63.81	7.43 7.50	7.36 7.44	234–236	89	28.5
<b>6m</b>	C <sub>21</sub> H <sub>30</sub> N <sub>2</sub> O <sub>5</sub>	64.74 64.60	7.85 7.74	7.11 7.17	230–232	90	32.9
<b>6n</b>	C <sub>22</sub> H <sub>32</sub> N <sub>2</sub> O <sub>5</sub>	65.40 65.32	8.08 7.97	7.02 6.93	228–230	86	35.1
<b>6o</b>	C <sub>23</sub> H <sub>34</sub> N <sub>2</sub> O <sub>5</sub>	65.94 66.01	8.06 8.19	6.58 6.69	225–227	92	44.3
<b>6p</b>	C <sub>24</sub> H <sub>36</sub> N <sub>2</sub> O <sub>5</sub>	66.52 66.64	8.30 8.39	6.36 6.48	222–224	94	41.9
Метамизол натрий		–	–	–	–	–	35.1

\* Уменьшение количества "уксуснокислых корчей" по сравнению с контролем, %.

заканчивается образованием 2,3-дибромпропиламида 4-гидрокси-6,7-диметокси-2-оксо-1,2-дигидрохинолин-3-карбоновой кислоты (**8**).

Анальгетические свойства полученных алкиламидов **6а–р** изучали на стандартной модели "уксуснокислых корчей" [13, 14], детально описанной нами ранее [15]. Эксперименты проведены на беспородных белых мышах весом 18–23 г, тестируемые вещества вводили перорально в дозе 20 мг/кг. В качестве препарата сравнения использован классический анальгетик метамизол натрий [6] при том же способе введения и в дозе 55 мг/кг, соответствующей ED<sub>50</sub> этого препарата именно на модели "уксуснокислых корчей" [16].

Таблица 2

Спектры ЯМР  $^1\text{H}$  алкиламидов 4-гидрокси-6,7-диметокси-2-оксо-1,2-дигидрохинолин-3-карбоновой кислоты ба-р

Соединение	4-OH (1H, с)	1-NH (1H, с)	NH-R (1H)	H-5(1H, с)	H-Ar	Химические свидетели, δ, м. д. ( $J$ , Гц)		R
						6.7-(OMe) <sub>2</sub>	(3H, с)	
<b>6a</b>	17.13	11.53	10.13 (κ, $J=4.8$ )	7.27	6.86	3.84	3.81	2.87 (3H, Δ, $J=4.8$ , CH <sub>3</sub> )
<b>6b</b>	17.15	11.47	10.27 (τ, $J=5.0$ )	7.26	6.87	3.84	3.81	3.37 (2H, κB, $J=7.1$ , NCH <sub>2</sub> ); 1.16 (3H, τ, $J=7.1$ , CH <sub>3</sub> )
<b>6c</b>	16.89	11.32	10.40 (τ, $J=5.6$ )	7.26	6.87	3.84	3.81	5.94 (1H, M, CH); 5.22 (1H, Δ, κ, $J=17.7$ , $J=1.5$ , <i>m</i> p <i>anis</i> -NCH <sub>2</sub> CH=CH <sub>2</sub> );
<b>6d</b>	17.14	11.49	10.31 (τ, $J=5.4$ )	7.26	6.86	3.84	3.80	5.14 (1H, Δ, κ, $J=10.9$ , $J=1.5$ , <i>m</i> c-NCH <sub>2</sub> CH=CH <sub>2</sub> );
<b>6e</b>	17.13	11.45	10.23 (Δ, $J=7.5$ )	7.25	6.87	3.84	3.81	3.99 (2H, τ, τ, $J=5.6$ , $J=1.5$ , NCH <sub>2</sub> CH=CH <sub>2</sub> )
<b>6f</b>	17.14	11.49	10.28 (τ, $J=5.6$ )	7.27	6.87	3.84	3.81	3.31 (2H, κ, $J=6.6$ , NCH <sub>2</sub> ); 1.56 (2H, M, NCH <sub>2</sub> CH <sub>2</sub> ); 0.91 (3H, τ, $J=7.3$ , CH <sub>3</sub> )
<b>6g</b>	17.12	11.48	10.40 (τ, $J=5.8$ )	7.26	6.87	3.83	3.80	4.08 (1H, M, CH); 1.21 (6H, Δ, $J=6.8$ , 2CH <sub>3</sub> )
<b>6h</b>	17.14	11.47	10.29 (τ, $J=5.8$ )	7.26	6.87	3.84	3.81	3.35 (2H, κ, $J=6.3$ , NCH <sub>2</sub> ); 1.55 (2H, κB, $J=7.0$ , CH <sub>2</sub> CH <sub>2</sub> CH <sub>3</sub> );
<b>6i</b>	17.11	11.45	10.28 (τ, $J=5.7$ )	7.25	6.86	3.83	3.80	1.36 (2H, M, CH <sub>2</sub> CH <sub>3</sub> ); 0.91 (3H, τ, $J=7.3$ , CH <sub>3</sub> )
<b>6j</b>	17.14	11.47	10.30 (τ, $J=5.6$ )	7.26	6.86	3.84	3.80	3.18 (2H, τ, $J=6.4$ , NCH <sub>2</sub> ); 1.84 (1H, M, CH); 0.92 (6H, Δ, $J=6.8$ , 2CH <sub>3</sub> )
<b>6k</b>	17.14	11.47	10.29 (τ, $J=5.5$ )	7.27	6.87	3.84	3.81	3.33 (2H, κ, $J=6.5$ , NCH <sub>2</sub> ); 1.55 (2H, κB, $J=6.8$ , NCH <sub>2</sub> CH <sub>2</sub> );
<b>6l</b>	17.14	11.47	10.28 (τ, $J=5.6$ )	7.30	6.89	3.84	3.80	1.38-1.26 (4H, M, (CH <sub>2</sub> ) <sub>2</sub> CH <sub>3</sub> ); 0.87 (3H, τ, $J=6.8$ , CH <sub>3</sub> )
<b>6m</b>	17.15	11.47	10.30 (τ, $J=5.6$ )	7.27	6.87	3.84	3.81	3.36 (2H, κ, $J=6.8$ , NCH <sub>2</sub> ); 1.63 (1H, M, CH);
<b>6n</b>	17.15	11.48	10.30 (τ, $J=5.4$ )	7.27	6.87	3.84	3.81	1.44 (2H, κ, $J=7.1$ , NCH <sub>2</sub> CH <sub>2</sub> ); 0.91 (6H, Δ, $J=6.4$ , 2CH <sub>3</sub> )
<b>6o</b>	17.15	11.47	10.30 (τ, $J=5.4$ )	7.27	6.87	3.84	3.81	3.33 (2H, κ, $J=6.3$ , NCH <sub>2</sub> ); 1.54 (2H, κB, $J=6.7$ , NCH <sub>2</sub> CH <sub>2</sub> );
<b>6p</b>	17.15	11.47	10.30 (τ, $J=5.5$ )	7.27	6.87	3.84	3.81	1.36-1.22 (6H, M, (CH <sub>2</sub> ) <sub>3</sub> CH <sub>3</sub> ); 0.86 (3H, τ, $J=6.7$ , CH <sub>3</sub> )
								3.33 (2H, κ, $J=6.3$ , NCH <sub>2</sub> ); 1.54 (2H, κB, $J=6.4$ , NCH <sub>2</sub> CH <sub>2</sub> );
								1.36-1.21 (8H, M, (CH <sub>2</sub> ) <sub>4</sub> CH <sub>3</sub> ); 0.85 (3H, τ, $J=6.4$ , CH <sub>3</sub> )
								3.35 (2H, κ, $J=6.4$ , NCH <sub>2</sub> ); 1.56 (2H, κB, $J=6.8$ , NCH <sub>2</sub> CH <sub>2</sub> );
								1.35-1.22 (10H, M, (CH <sub>2</sub> ) <sub>5</sub> CH <sub>3</sub> ); 0.85 (3H, τ, $J=6.7$ , CH <sub>3</sub> )
								3.33 (2H, κ, $J=6.4$ , NCH <sub>2</sub> ); 1.54 (2H, κB, $J=6.8$ , NCH <sub>2</sub> CH <sub>2</sub> );
								1.32-1.21 (12H, M, (CH <sub>2</sub> ) <sub>6</sub> CH <sub>3</sub> ); 0.84 (3H, τ, $J=6.6$ , CH <sub>3</sub> )
								3.33 (2H, κ, $J=6.6$ , NCH <sub>2</sub> ); 1.54 (2H, κB, $J=6.7$ , NCH <sub>2</sub> CH <sub>2</sub> );
								1.31-1.20 (14H, M, (CH <sub>2</sub> ) <sub>7</sub> CH <sub>3</sub> ); 0.83 (3H, τ, $J=6.6$ , CH <sub>3</sub> )
								3.33 (2H, κ, $J=6.4$ , NCH <sub>2</sub> ); 1.54 (2H, κB, $J=6.5$ , NCH <sub>2</sub> CH <sub>2</sub> );
								1.30-1.19 (16H, M, (CH <sub>2</sub> ) <sub>8</sub> CH <sub>3</sub> ); 0.83 (3H, τ, $J=6.4$ , CH <sub>3</sub> )
								3.34 (2H, κ, $J=6.3$ , NCH <sub>2</sub> ); 1.54 (2H, κB, $J=6.5$ , NCH <sub>2</sub> CH <sub>2</sub> );
								1.30-1.18 (18H, M, (CH <sub>2</sub> ) <sub>9</sub> CH <sub>3</sub> ); 0.83 (3H, τ, $J=6.5$ , CH <sub>3</sub> )

Сравнительный анализ результатов биологических испытаний алкиламидов **6a–p** (табл. 1) и их аллилзамещённых аналогов [8] показывает, что предпринятое нами удаление 1-*N*-аллильного фрагмента в одних случаях вполне закономерно приводит к некоторому усилению анальгетических свойств (амиды **6d,i,k,n–p**), в других, наоборот, к их снижению (амиды **6a,h**). Однако более интересен, на наш взгляд, тот факт, что полной или хотя бы значительной утраты активности при этом не зафиксировано ни в одном случае. Следовательно, есть все основания предположить, что заместители при хинолиновом атоме азота в целом слабо влияют на обезболивающие свойства 4-гидрокси-6,7-диметокси-2-оксо-1,2-дигидрохинолин-3-карбоксамидов. В гораздо большей степени их биологический эффект зависит от строения *N*-R-амидного фрагмента.

## ЭКСПЕРИМЕНТАЛЬНАЯ ЧАСТЬ

Спектры ЯМР  $^1\text{H}$  зарегистрированы на спектрометрах Varian Mercury-VX-200 (200 МГц) (алкиламиды **6a–p**) и Varian Mercury-400 (400 МГц) (метиловый эфир **1**). Для всех соединений растворитель ДМСО- $d_6$ , внутренний стандарт ТМС. Анализ чистоты образцов метилового эфира **1**, полученных различными способами, проведён методом ВЭЖХ на жидкостном хроматографе Waters Alliance 2690 с фотодиодной матрицей Waters PAD 996 в качестве детектора. Условия хроматографирования: колонка – Symmetry C8 (Nova Pak C8) размером 3.9×150 мм; скорость потока подвижной фазы – 1 мл/мин; температура колонки – 40 °C; объём инжекции 20 мкл; детекция при длине волны 232 нм. Состав подвижной фазы: 65% ацетонитрила, 35% водного раствора перхлората аммония (5 мл 70% хлорной кислоты и 25% раствора амиака до pH 2.5–3.0 на 1 л раствора).

**Метиловый эфир 4-гидрокси-6,7-диметокси-2-оксо-1,2-дигидрохинолин-3-карбоновой кислоты (1).** А. К раствору 2.11 г (10 ммоль) метилового эфира 2-амино-4,5-диметоксибензойной кислоты (**2**) в 20 мл  $\text{CH}_2\text{Cl}_2$  прибавляют 1.54 мл (11 ммоль) триэтиламина, а затем при охлаждении и перемешивании по каплям 1.18 мл (11 ммоль) метилмалонилхлорида (**3**) и оставляют при комнатной температуре на 5 ч. Реакционную смесь разбавляют холодной водой и тщательно перемешивают. Органический слой отделяют, сушат над безводным  $\text{CaCl}_2$ , растворитель отгоняют (в конце при пониженном давлении). К остатку (анилид **5a**) прибавляют раствор метилата натрия (из 0.69 г (30 ммоль) металлического натрия и 15 мл абсолютного  $\text{MeOH}$ ), доводят до кипения и оставляют на 10–12 ч при комнатной температуре. Разбавляют реакционную смесь холодной водой и подкисляют разбавленной (1:1)  $\text{HCl}$  до pH 4.5–5. Осадок эфира **1** отфильтровывают, промывают водой, сушат. Выход 2.23 г (81%). Содержание основного вещества в неочищенном продукте по данным ВЭЖХ составляет 93.2%. После перекристаллизации из  $\text{MeOH}$  т. пл. 245 °C (разл.). Спектр ЯМР  $^1\text{H}$ , δ, м. д. (*J*, Гц): 13.94 (1H, с, OH); 11.28 (1H, с, NH); 7.24 (1H, с, H-5); 6.74 (1H, с, H-8); 3.92 (3H, с,  $\text{OCH}_3$ ); 3.89 (3H, с,  $\text{OCH}_3$ ); 3.85 (3H, с,  $\text{OCH}_3$ ). Найдено, %: C 55.80; H 4.55; N 4.93.  $\text{C}_{13}\text{H}_{13}\text{NO}_6$ . Вычислено, %: C 55.92; H 4.69; N 5.02.

Б. К раствору 2.11 г (10 ммоль) метилового эфира 2-амино-4,5-диметоксибензойной кислоты (**2**) и 2.06 г (10 ммоль) *N,N*-дициклогексилкарбодимида в 30 мл  $\text{CH}_2\text{Cl}_2$  при охлаждении и перемешивании по каплям прибавляют 1.32 г (10 ммоль)monoэтилового эфира малоновой кислоты (**4**). Оставляют при комнатной температуре на 6–8 ч. Образовавшийся осадок *N,N*-дициклогексилмочевины отфильтровывают, промывают на фильтре  $\text{CH}_2\text{Cl}_2$ , после чего растворитель из фильтрата отгоняют на водяной бане (в конце – при пониженном давлении). К остатку (анилид **5b**) прибавляют раствор метилата натрия (из 0.69 г (30 ммоль) металлического натрия и 15 мл абсолютного  $\text{MeOH}$ ), доводят до кипения и оставляют на 10–

12 ч при комнатной температуре. К оставшейся реакционной смеси прибавляют 60 мл холодной воды. При этом небольшое количество вещества (примесь *N,N*-дициклогексилмочевины) остается нерастворённым. Полученный раствор чистят углём, фильтруют. Фильтрат подкисляют разбавленной (1:1) HCl до pH 4.5–5.0. Выделившийся осадок эфира **1** отфильтровывают, промывают водой, сушат. Выход 2.59 г (93%). Содержание основного вещества составляет 99.4%.

Спектры ЯМР <sup>1</sup>H образцов метилового эфира **1**, полученных различными методами, идентичны.

**Метиламид 4-гидрокси-6,7-диметокси-2-оксо-1,2-дигидрохинолин-3-карбоновой кислоты (6a).** Суспензию 2.79 г (0.01 моль) метилового эфира **1** в 20 мл ДМФА насыщают газообразным метиламином (осадок при этом быстро растворяется) и оставляют при комнатной температуре на 3 ч. Реакционную смесь разбавляют холодной водой и подкисляют разбавленной (1:1) HCl до pH 4.5–5.0. Выделившийся осадок амида **6a** отфильтровывают, промывают водой, сушат.

**Этиламид 6b** синтезирован по аналогичной методике.

**Алкиламиды 4-гидрокси-6,7-диметокси-2-оксо-1,2-дигидрохинолин-3-карбоновой кислоты 6c–p** (общая методика). К смеси 2.79 г (10 ммоль) метилового эфира **1**, 30 мл ДМФА и 5 мл MeOH прибавляют 11 ммоль соответствующего алкиламина и кипятят с обратным холодильником 3 ч (в случае изо-пропиламина продолжительность реакции увеличивают до 6 ч). Последующую обработку реакционной смеси и выделение конечного продукта проводят по методике получения соединения **6a**.

**4-Гидрокси-6,7-диметокси-1H-хинолин-2-он (7).** Раствор 2.65 г (0.01 моль) 4-гидрокси-6,7-диметокси-2-оксо-1,2-дигидрохинолин-3-карбоновой кислоты [17] в 15 мл ДМФА кипятят до прекращения выделения CO<sub>2</sub> (около 10 мин), после чего охлаждают и разбавляют холодной водой. Осадок хинолинона **7** отфильтровывают, промывают водой, сушат. Выход 2.07 г (94%). Т. пл. 403–405 °C (ДМФА–EtOH, 1:5). Спектр ЯМР <sup>1</sup>H, δ, м. д. (*J*, Гц): 11.11 (1H, с, OH); 10.95 (1H, с, NH); 7.13 (1H, с, H-5); 6.78 (1H, с, H-8); 5.59 (1H, с, H-3); 3.77 (3H, с, OCH<sub>3</sub>); 3.75 (3H, с, OCH<sub>3</sub>). Найдено, %: C 59.67; H 4.94; N 6.25. C<sub>11</sub>H<sub>11</sub>NO<sub>4</sub>. Вычислено, %: C 59.73; H 5.01; N 6.33.

**2,3-Дибромпропиламид 4-гидрокси-6,7-диметокси-2-оксо-1,2-дигидрохинолин-3-карбоновой кислоты (8).** К раствору 3.04 г (0.01 моль) аллиламида 4-гидрокси-6,7-диметокси-2-оксо-1,2-дигидрохинолин-3-карбоновой кислоты (**6c**) в 50 мл ледяной уксусной кислоты при интенсивном перемешивании прибавляют раствор 0.52 мл (0.01 моль) брома в 5 мл того же растворителя. Бурая окраска брома при этом сразу же исчезает. Реакционную смесь разбавляют холодной водой, выделившийся бесцветный осадок 2,3-дибромпропиламида **8** отфильтровывают, промывают водой, сушат. Выход 3.80 г (82%). Т. пл. 255–257 °C (ДМФА). Спектр ЯМР <sup>1</sup>H, δ, м. д. (*J*, Гц): 16.63 (1H, с, OH); 11.67 (1H, с, NH); 10.65 (1H, т, *J* = 6.2, NHCH<sub>2</sub>); 7.25 (1H, с, H-5); 6.87 (1H, с, H-8); 4.64 (1H, м, NCH<sub>2</sub>CH); 3.95 (4H, м, NCH<sub>2</sub>CH(Br)CH<sub>2</sub>Br); 3.84 (3H, с, OCH<sub>3</sub>); 3.80 (3H, с, OCH<sub>3</sub>). Найдено, %: C 38.73; H 3.35; N 5.91. C<sub>15</sub>H<sub>16</sub>Br<sub>2</sub>N<sub>2</sub>O<sub>5</sub>. Вычислено, %: C 38.82; H 3.47; N 6.04.

## СПИСОК ЛИТЕРАТУРЫ

1. И. В. Украинец, Н. Ю. Голик, А. Л. Шемчук, В. Н. Кравченко, *XГС*, 1364 (2011). [*Chem. Heterocycl. Compd.*, **47**, 1122 (2011).]
2. I. Rundshagen, *Anästhesiol. Intensivmed. Notfallmed. Schmerzther.*, **45**, 304 (2010).
3. K. D. Rainsford, W. F. Kean, G. E. Ehrlich, *Curr. Med. Res. Opin.*, **24**, 2967 (2008).
4. G. McCleane, *Anesthesiol. Clin.*, **25**, 825 (2007).
5. A. Kleemann, J. Engel, *Pharmaceutical Substances. Synthesis, Patents, Applications*, Georg Thieme Verlag, Stuttgart, 2001.
6. М. Д. Машковский, *Лекарственные средства*, РИА Новая Волна, Москва, 2009, с. 143.

7. *The Essence of Analgesia and Analgesics*, R. S. Sinatra, J. S. Jahr, J. M. Watkins-Pitchford (Eds.), Cambridge University Press, Cambridge, 2010.
8. И. В. Українець, Е. В. Моспанова, А. А. Давиденко, С. В. Шишкіна, *XГС*, 1345 (2010). [*Chem. Heterocycl. Compd.*, **46**, 1084 (2010).]
9. S. Jönsson, G. Andersson, T. Fex, T. Fristedt, G. Hedlund, K. Jansson, L. Abramo, I. Fritzson, O. Pekarski, A. Runström, H. Sandin, I. Thuesson, A. Björk, *J. Med. Chem.*, **47**, 2075 (2004).
10. И. В. Українець, Л. В. Сидоренко, Е. Н. Свєчникова, О. В. Шишкін, *XГС*, 1503 (2007). [*Chem. Heterocycl. Compd.*, **43**, 1275 (2007).]
11. И. В. Українець, Л. В. Сидоренко, О. В. Горохова, С. В. Шишкіна, А. В. Туров, *XГС*, 736 (2007). [*Chem. Heterocycl. Compd.*, **43**, 617 (2007).]
12. И. В. Українець, Н. Л. Березнякова, О. В. Горохова, А. В. Туров, *XГС*, 1677 (2007). [*Chem. Heterocycl. Compd.*, **43**, 1426 (2007).]
13. М. А. Мохорт, Л. В. Яковлева, О. М. Шаповал, в кн. *Доклінічні дослідження лікарських засобів: методичні рекомендації*, під ред. О. В. Стефанова, Авіценна, Київ, 2001, с. 307.
14. Л. Н. Сернов, В. В. Гацура, *Элементы экспериментальной фармакологии*, ППП Типография "Наука", Москва, 2000, с. 40.
15. И. В. Українець, Е. В. Моспанова, Л. В. Савченкова, С. И. Янкович, *XГС*, 90 (2011). [*Chem. Heterocycl. Compd.*, **47**, 67 (2011).]
16. Я. А. Сигидин, Г. Я. Шварц, А. П. Арзамасцев, С. С. Либерман, *Лекарственная терапия воспалительного процесса (экспериментальная и клиническая фармакология противовоспалительных препаратов)*, Медицина, Москва, 1988, с. 62.
17. И. В. Українець, А. А. Давиденко, Е. В. Моспанова, Л. В. Сидоренко, Е. Н. Свєчникова, *XГС*, 706 (2010). [*Chem. Heterocycl. Compd.*, **46**, 559 (2010).]

*Национальный фармацевтический университет,  
ул. Пушкинская, 53, Харьков 61002, Украина  
e-mail: uiv@kharkov.ua*

*Поступило 24.02.2011*

<sup>4</sup>*Институт химических технологий  
восточноукраинского национального университета  
им. Владимира Даля,  
ул. Ленина, 31, Рубежное 93003, Украина  
e-mail: elend\_mospanova@mail.ru*

<sup>6</sup>*Луганский государственный медицинский университет,  
кв. 50-летия Обороны Луганска, 1, Луганск 91045, Украина  
e-mail: slv.05@mail.ru*